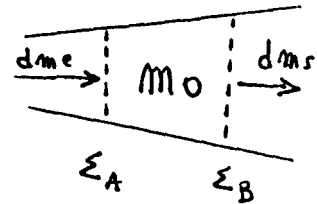


Exercice

1- on considère une masse de fluide comprise entre les deux sections fixes Σ_1 et Σ_2 .

$dm_e = D_m A dt$: masse qui entre pendant dt

$dm_s = D_m B dt$: masse qui sort pendant dt



En régime permanent, $m_0 = \text{cte} \Rightarrow dm_e = dm_s \Rightarrow D_{mA} = D_{mB} = D_m$

2.a - $E_m(t) = E_{m,t}(A_1, A_2) = E_{m,t}(B_1, A_2) + dE_1$

$E_m(t+dt) = E_{m,t+dt}(B_1, B_2) = E_{m,t+dt}(B_1, A_2) + dE_2$

En régime permanent $E_{m,t}(B_1, A_2) = E_{m,t+dt}(B_1, A_2) = E_0 = \text{cte}$

$\Rightarrow E_m(t+dt) - E_m(t) = dE_2 - dE_1$

2.b - $dE_2 = D_m dt (u_2 + \frac{1}{2} c_2^2)$

$dE_1 = D_m dt (u_1 + \frac{1}{2} c_1^2)$

2.c - $\delta W_{pression} = \delta W_{amont} + \delta W_{aval}$

$\delta W_{amont} = -P_1 (V_f - V_i) = -P_1 (-dm u_1) = D_m P_1 u_1 dt$

$\delta W_{aval} = -P_2 (V_f - V_i) = -P_2 (dm u_2) = -D_m P_2 u_2 dt$

$P_{pression} = \frac{\delta W}{dt} = D_m (P_1 u_1 - P_2 u_2)$

2.d - $dE_m = E_m(t+dt) - E_m(t) = dE_2 - dE_1 = \delta Q + \delta W_u + \delta W_{pression}$

$D_m [(u_2 + \frac{1}{2} c_2^2) - (u_1 + \frac{1}{2} c_1^2)] = P_{th} + P_u + D_m (P_1 u_1 - P_2 u_2)$

avec $h_2 = u_2 + P_2 u_2$ et $h_1 = u_1 + P_1 u_1$, il vient :

$D_m [(h_2 - h_1) + \frac{1}{2} (c_2^2 - c_1^2)] = P_{th} + P_u$

3 - $P_u = D_m c_p (T_2 - T_1)$; $c_p = \frac{\gamma R}{(\gamma - 1) M}$; $T_2 = T_1 \left(\frac{P_1}{P_2}\right)^{\frac{1-\gamma}{\gamma}}$

$c_p = 1001,7 \text{ J kg}^{-1} \text{ K}^{-1}$; $T_2 = 631,38 \text{ K}$

$P_u = -3,69 \cdot 10^4 \text{ W}$. Le fluide fournit donc à la machine la puissance $P = 3,69 \cdot 10^4 \text{ W}$.

0,5

0,5

0,5

0,5

0,5

1

Problème 1

1/ MF $\Rightarrow \left(\vec{\text{rot}} \vec{E} = -\frac{\partial \vec{B}}{\partial t} \right) \cdot \left(\frac{\vec{B}}{\mu_0} \right)$ (1)

MA $\Rightarrow \left(\vec{\text{rot}} \frac{\vec{B}}{\mu_0} = \vec{J} + \epsilon_0 \frac{\partial \vec{E}}{\partial t} \right) \cdot \vec{E}$ (2)

(1) - (2) $\Rightarrow \frac{\vec{B}}{\mu_0} \vec{\text{rot}} \vec{E} - \vec{E} \vec{\text{rot}} \frac{\vec{B}}{\mu_0} = -\vec{J} \cdot \vec{E} - \frac{d}{dt} \left(\frac{\epsilon_0 E^2}{2} + \frac{B^2}{2\mu_0} \right) = \text{div} \left(\frac{\vec{E} \wedge \vec{B}}{\mu_0} \right)$

On obtient, par identification, $u_{em} = \frac{\epsilon_0 E^2}{2} + \frac{B^2}{2\mu_0}$ et $\vec{R} = \frac{\vec{E} \wedge \vec{B}}{\mu_0}$

2/ En intégrant cette formule sur le volume fixe (V) et en utilisant la relation de Green-Ostrogradsky, on obtient:

$$-\frac{d}{dt} \iiint_{(V)} \left(\frac{\epsilon_0 E^2}{2} + \frac{B^2}{2\mu_0} \right) d\tau = \iiint_{(V)} \vec{J} \cdot \vec{E} d\tau + \iint_{(S)} \vec{R} \cdot d\vec{S}$$

En régime permanent, on trouve : $\iiint_{(V)} \vec{J} \cdot \vec{E} d\tau + \iint_{(S)} \vec{R} \cdot d\vec{S} = 0$

$\iint \vec{R} \cdot d\vec{S}$: puissance qui sort à travers S (\vec{n} vers l'extérieur)

$\iiint \vec{J} \cdot \vec{E} d\tau$: puissance cédée par (\vec{E}, \vec{B}) à la matière, dissipée sous forme de chaleur (effet Joule).

3) $\vec{J} = \gamma \vec{E} \Rightarrow \vec{E} = \left(\frac{J_0}{\gamma} \right) \vec{e}_z$

4) La distribution de courant est invariante par translation le long de Oz et par rotation autour de cet axe $\Rightarrow \vec{B} = \vec{B}(r)$.

Le plan contenant r et l'axe (Oz) $(r, \vec{e}_r, \vec{e}_z)$ est de symétrie pour la distribution de courant ; il en résulte que \vec{B} est orthogonal à ce plan $\vec{B} = B \vec{e}_\theta \Rightarrow \vec{B}(r) = B(r) \vec{e}_\theta$

5) L'application du théorème d'Ampère, à un contour circulaire de rayon r, centré sur l'axe, donne :

pour $r \leq a$ $\vec{B} = \frac{\mu_0 J_0 r}{2} \vec{e}_\theta$

pour $r \geq a$ $\vec{B} = \frac{\mu_0 J_0 a^2}{2r} \vec{e}_\theta$

6) $\vec{R} = \frac{\vec{E} \wedge \vec{B}}{\mu_0} = -\frac{J_0^2 r}{2\gamma} \vec{e}_r$; à la surface $\vec{R} = -\frac{J_0^2 a}{2\gamma} \vec{e}_r$

Préventrice = $\iint \vec{R} \cdot d\vec{S} = \frac{J_0^2 \pi a^2 L}{\gamma}$ ($\vec{n} = -\vec{e}_r$ pour la surface latérale)

0,75

0,75

0,5

0,5

0,75

0,75

$$7. P_{\text{interne}} = \frac{J_0^2 \pi a^2 L}{\gamma} = R_e I^2 = R_e (J_0 \pi a^2)^2$$

$$\Rightarrow R_e = \frac{1}{\gamma} \frac{L}{\pi a^2}$$

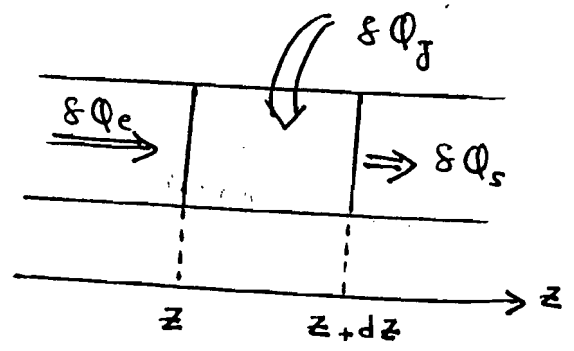
$$8. dU = \delta Q_e + \delta Q_J - \delta Q_s$$

$$dU = \mu c s dz \frac{\partial T}{\partial t} dt$$

$$\delta Q_e = \left(-\lambda \frac{\partial T}{\partial z} \right)_z s dt$$

$$\delta Q_s = \left(-\lambda \frac{\partial T}{\partial z} \right)_{z+dz} s dt$$

$$\left. \begin{aligned} \delta Q_e - \delta Q_s &= \lambda \frac{d^2 T}{dz^2} s dz dt \\ \delta Q_J &= \frac{J_0^2}{\gamma} s dz dt \end{aligned} \right\} \mu c \frac{\partial T}{\partial t} = \lambda \frac{d^2 T}{dz^2} + \frac{J_0^2}{\gamma}$$



$\frac{J_0^2}{\gamma}$: puissance volumique cédée par le champ électromagnétique au matériau

9. En régime permanent, l'équation devient : $\frac{d^2 T}{dz^2} = -\frac{J_0^2}{\lambda \gamma}$

$$\left. \begin{aligned} T(z=0) &= T_1 \\ T(z=L) &= T_2 \end{aligned} \right\} \Rightarrow T(z) = -\frac{J_0^2}{2 \lambda \gamma} z^2 + \left(T_2 - T_1 + \frac{J_0^2 L^2}{2 \lambda \gamma} \right) \frac{z}{L} + T_1$$

10. Pour $J_0 = 0$, $T(z) = T_1 + (T_2 - T_1) \frac{z}{L}$

$$\vec{J}_{1R} = -\lambda \frac{\partial T}{\partial z} \vec{e}_z = (T_1 - T_2) \frac{\lambda}{L} \vec{e}_z$$

$P_{1R} = (T_1 - T_2) \frac{\lambda \pi a^2}{L}$: puissance traversant une section du cylindre.

$$R_{1R} = \frac{T_1 - T_2}{P_{1R}} = \frac{1}{\lambda} \frac{L}{\pi a^2}$$

$$11. P(z) = \vec{J}_{1R} \pi a^2 \vec{e}_z = -\lambda \frac{dT}{dz} \pi a^2$$

$$P(z) = -\pi a^2 \left[-\frac{J_0^2}{\gamma} z + \frac{J_0^2}{2\gamma} L + \frac{(T_2 - T_1) \lambda}{L} \right]$$

$$12. P_1 = -P(z=0) = \pi a^2 \left[\frac{J_0^2 L}{2\gamma} + \frac{(T_2 - T_1) \lambda}{L} \right]$$

$$P_2 = +P(z=L) = -\pi a^2 \left[-\frac{J_0^2 L}{2\gamma} + \frac{(T_2 - T_1) \lambda}{L} \right]$$

$$P_J = P_1 + P_2 = \frac{J_0^2 L}{\gamma} \pi a^2 = \iiint_V \vec{J} \cdot \vec{E} dz$$

La puissance reçue par le cylindre (par effet Joule) est donnée aux deux thermostats.

0,5

0,7

0,7

0,7

0,7

0,7

13- Pour $T_1 = T_2 = T_0$, l'expression de $T(z)$ devient:

$$T(z) = T_0 + \alpha (-z^2 + Lz) \quad \text{avec} \quad \alpha = \frac{J_0^2}{2\lambda\gamma}$$

14- La température en $z = \frac{L}{2}$ est maximale.

$$T_{\max} = T\left(\frac{L}{2}\right) = T_0 + \frac{J_0^2 L^2}{8\lambda\gamma} = T_0 + \frac{I^2 L^2}{8\lambda\gamma (\pi \cdot 10^3)^2}$$

Cette température doit rester inférieure à $T_F \Rightarrow$

$$I < I_0 = \frac{\pi \cdot 10^3}{L} \sqrt{8\lambda\gamma (T_F - T_0)} = 10 \text{ A}$$

⊗ Application : fusible

0,25

0,75

Problème 2

1- $\vec{k} = \frac{2\pi}{\lambda} (\cos\theta \vec{e}_z + \sin\theta \vec{e}_n)$, $\vec{OP} = x \vec{e}_n \Rightarrow \vec{k} \cdot \vec{OP} = \frac{2\pi}{\lambda} x \sin\theta$

$$e^{-i\vec{k} \cdot \vec{OP}} = e^{-\frac{2\pi i}{\lambda} x \sin\theta} = e^{-i2\pi x u} \quad \text{avec} \quad u = \frac{\sin\theta}{\lambda} = \frac{\theta}{\lambda}$$

2- u s'exprime en m^{-1} : fréquence spatiale.

par analogie avec la fréquence temporelle qui s'exprime en s^{-1} (ou Hz).

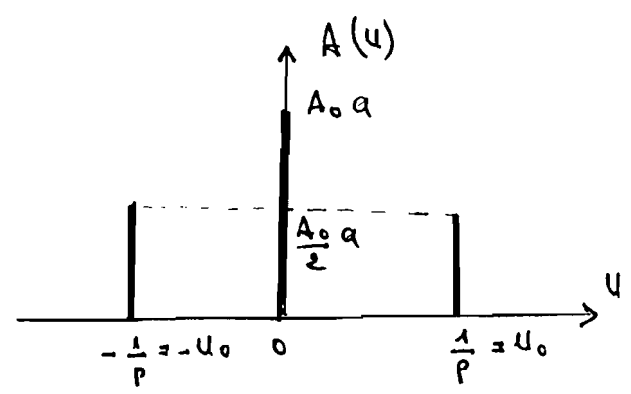
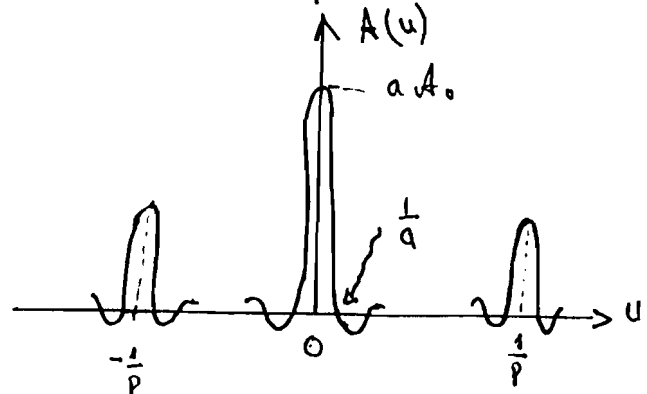
3- La lentille (L) permet d'observer dans son plan focal image la diffraction de Fraunhofer.

$$4) \underline{A}(u) = A_0 \int_{-a/2}^{a/2} \left(1 + \frac{e^{i2\pi x}}{2} + \frac{e^{-i2\pi x}}{2} \right) e^{-i2\pi x u} dx$$

$$A(u) = aA_0 \left[\text{Sinc}(\pi a u) + \frac{1}{2} \text{Sinc} \pi a \left(u - \frac{1}{p}\right) + \frac{1}{2} \text{Sinc} \pi a \left(u + \frac{1}{p}\right) \right]$$

c'est la somme de 3 sinus cardinaux centrés en $-\frac{1}{p}$, 0 , $\frac{1}{p}$.

5/ Comme $\frac{1}{a} \ll \frac{1}{p}$, les sinus cardinaux ne se superposent pas.



0,5

0,25

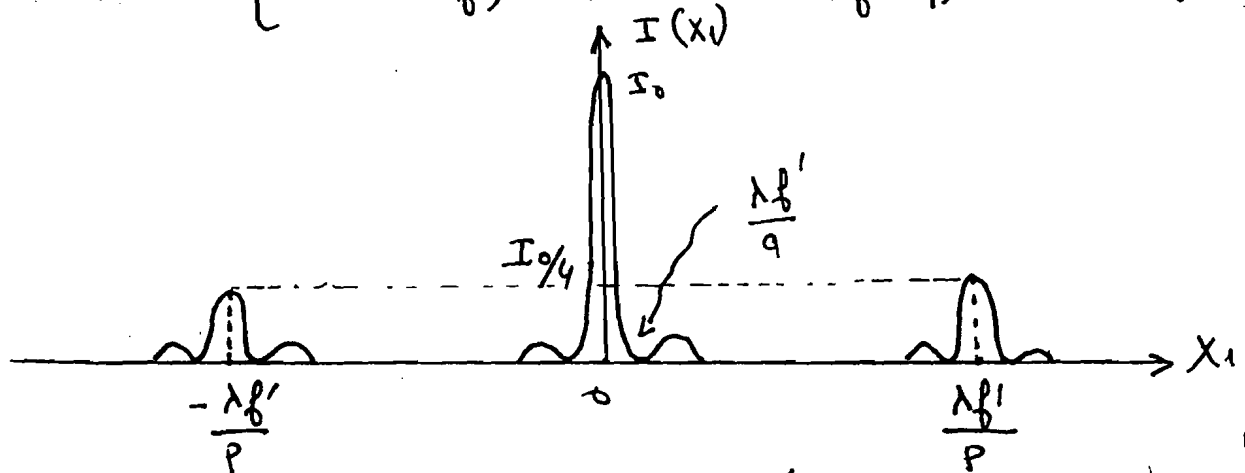
0,5

0,5

0,5

$$6. \quad x_1 = f' \tan \theta = f' \frac{\theta}{1} \Rightarrow u = \frac{\theta}{\lambda} = \frac{x_1}{\lambda f'}$$

$$I = A^2 = I_0 \left\{ \text{sinc}^2 \left(\frac{\pi a x_1}{\lambda f'} \right) + \frac{1}{4} \text{sinc}^2 \left[\pi a \left(\frac{x_1}{\lambda f'} - \frac{1}{p} \right) \right] + \frac{1}{4} \text{sinc}^2 \left[\pi a \left(\frac{x_1}{\lambda f'} + \frac{1}{p} \right) \right] \right\}$$



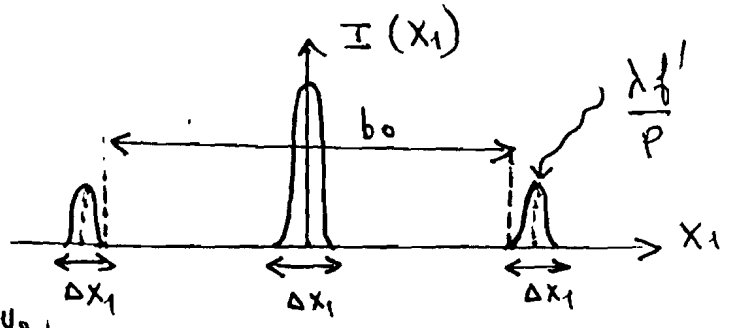
$$7. \quad \frac{1}{O_L A'} - \frac{1}{O_L A} = \frac{1}{f'} \Rightarrow \overline{O_L A'} = d' = 2f' ; (\overline{O_L A} = -2f')$$

$$\gamma = \frac{\overline{O_L A'}}{\overline{O_L A}} = -1$$

$$8.a - \Delta x_1 = \frac{2 \lambda f'}{a}$$

$$8.b - b_0 = \frac{2 \lambda f'}{p} - \Delta x_1$$

$$b_0 = 2 \lambda f' \left(\frac{1}{p} - \frac{1}{a} \right)$$



8.c - En occultant les fréquences $\pm u_0$, du plan focal image, la figure de diffraction est celle relative à une fente de largeur a : tout se passe comme si l'objet était une fente de largeur a . On observe sur l'écran (E) l'image de la fente: bande de largeur a uniformément éclairée.

8.d - La fréquence nulle est à l'origine de l'éclairissement uniforme dans l'image.
 Les basses fréquences du spectre correspondent à des éclairissements uniformes dans l'objet.
 Les HF correspondent aux détails fins de l'objet.

(1)

(4)

(0,25)

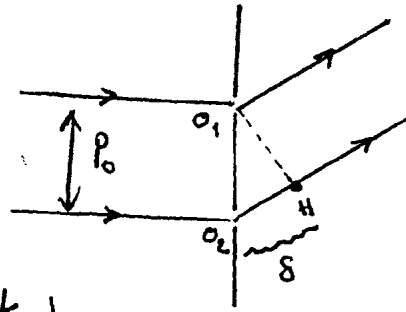
(0,5)

(0,5)

(0,2)

9- $\varphi = \frac{2\pi}{\lambda} \delta = \frac{2\pi}{\lambda} p_0 \sin \theta$.

pour θ faible, $\varphi = \frac{2\pi p_0 \theta}{\lambda}$

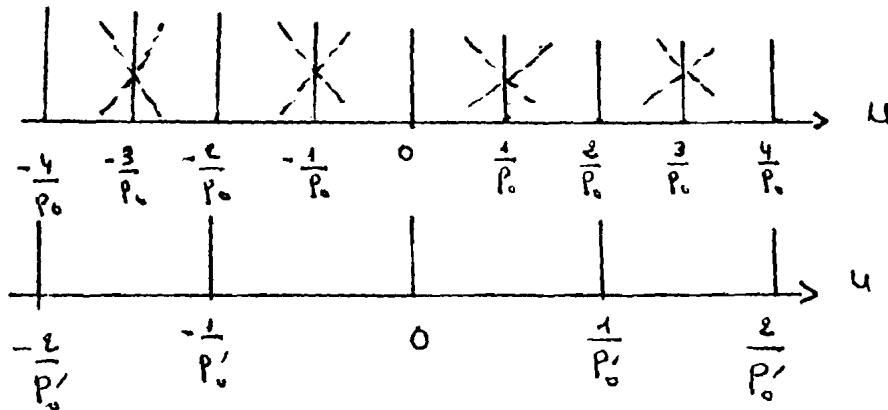


10- Le maximum principal d'ordre k

correspond à $\varphi = 2k\pi \Rightarrow \theta_k = \frac{k}{p_0} \lambda$

$u = \frac{\theta}{\lambda} \Rightarrow u_k = \frac{k}{p_0}$.

11- si on occulte les maxima d'ordre impair dans la figure de diffraction donnée par le réseau de pas p_0 , la figure de diffraction obtenue est alors celle relative à un réseau de pas $\frac{p_0}{2} = p_0'$

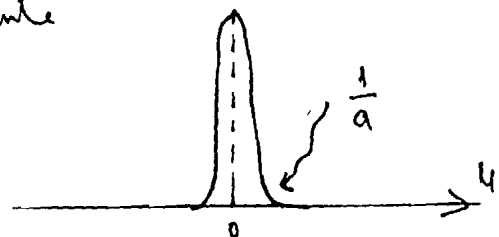


tout se passe comme si l'objet était un réseau de pas $p_0' = \frac{p_0}{2}$ sur l'écran (E) on observe l'image d'un réseau de pas p_0' .

12- le premier minimum est correspond à une fréquence égale à $\frac{2\pi}{N} = \frac{1}{N p_0}$

or $a = N p_0 \Rightarrow$ cette fréquence est égale à $\frac{1}{a}$.

Le spectre est celui associé à une fente de largeur a .



(0,5)

(0,5)

(0,7)

(0,5)